



(1) (2)

■ **Fehlerschema:**  $z_i^j = z(x_i, t_j) := u(x_i, t_j) - v(x_i, t_j)$

$$z_{t,i}^j - \tau z_{xx,i}^j = u_{t,i}^j - \tau u_{xx,i}^j - \underbrace{(v_{t,i}^j - \tau v_{xx,i}^j)}_{\stackrel{(2)}{=} f_i^j} =$$

$$= \frac{u(x_i, t_j + \tau) - u(x_i, t_j)}{\tau} - \tau \frac{u(x_i - h, t_j) - 2u(x_i, t_j) + u(x_i + h, t_j)}{h^2}$$

$$- \left[ \frac{\partial u}{\partial t}(x_i, t_j) - \tau \frac{\partial^2 u}{\partial x^2}(x_i, t_j) \right] =: \psi_i^j = O(\tau + h^2)$$

Tatsächlich (AB1, (A-M), Aufgabe 1.2.c): Taylor

(3)  $\psi_i^j = \psi(x_i, t_j) = \left[ \frac{u(x_i, t_j + \tau) - u(x_i, t_j)}{\tau} - \frac{\partial u}{\partial t}(x_i, t_j) \right] -$

$$= O(\tau)$$

$$- \tau \left[ \frac{u(x_i - h, t_j) - 2u(x_i, t_j) + u(x_i + h, t_j)}{h^2} - \frac{\partial^2 u}{\partial x^2}(x_i, t_j) \right]$$

$$= O(h^2)$$

$$= O(\tau + h^2) = \text{Approximationsfehler (Konsistenzfehler)}$$

Genauer: In AB1 (A-M), Aufgabe 1.2.c) haben Sie gezeigt

$$|\psi_i^j| \leq \frac{1}{2} \max_{t \in [t_0, t_m]} \left| \frac{\partial^2 u(x_i, t)}{\partial t^2} \right| \tau + \frac{1}{12} \max_{x \in [x_1, x_m]} \left| \frac{\partial^4 u(x, t_j)}{\partial x^4} \right| h^2$$

$$\leq C_A(u) (\tau + h^2)$$

$\forall i = \overline{1, n-1} \quad \forall j = \overline{1, m-1}$  vorausgesetzt, dass  $u \in C^{4,2}(\bar{Q})$

**Resultat:** Fehler  $z$  löst das Differenzenschema

(4)  $z_{t,i}^j - \tau z_{xx,i}^j = \psi_i^j = O(\tau + h^2), i = \overline{1, n-1}, j = \overline{0, m-1}$

RB:  $z_0^j = z_n^j = 0, j = 1, 2, \dots, m$

AB:  $z_i^0 = u(x_i, 0) - v_i^0 = u_0(x_i) - u_0(x_i) = 0, i = \overline{0, n}$

d.h.  $z_{t,i}^j = \tau z_{xx,i}^j + \psi_i^j$  oder

(4)  $z_i^{j+1} = z_i^j + \tau \frac{\tau}{h^2} [z_{i-1}^j - 2z_i^j + z_{i+1}^j] + \tau \psi_i^j, i = \overline{1, n-1}, j = \overline{0, m-1}$

+ RB + AB  $_{i=1, \dots, m-1}$



### 2. Mathematisch Korrekt:

$$\psi^j = \begin{bmatrix} \psi_1^j \\ \vdots \\ \psi_{n-1}^j \end{bmatrix}$$

Vektorform von (4):

$$(4) \quad z^{j+1} := \begin{bmatrix} z_1^{j+1} \\ \vdots \\ z_{n-1}^{j+1} \end{bmatrix} = I z^j - \alpha \frac{\tau}{h^2} \begin{bmatrix} 2 & -1 & & & \\ -1 & 2 & -1 & & \\ & \ddots & \ddots & \ddots & \\ & & -1 & 2 & -1 \\ & & & -1 & 2 \end{bmatrix} z^j + \tau \psi^j \in \mathbb{R}^{n-1}$$

$$= (I - \alpha \frac{\tau}{h^2} A) z^j + \tau \psi^j = A z^j + \tau \psi^j$$

Dreiecksung!

$$\|z^{j+1}\| = \|(I - \alpha \frac{\tau}{h^2} A) z^j + \tau \psi^j\| \leq \| (I - \alpha \frac{\tau}{h^2} A) z^j \| + \tau \| \psi^j \|$$

$\|Mx\| \leq \|M\| \|x\|$

Zumindest  
verträgl.

zugeordnete  
Matrixnorm

$$\leq \|I - \alpha \frac{\tau}{h^2} A\| \|z^j\| + \tau \| \psi^j \|$$

$$=: q$$

$$\|z^{j+1}\| \leq q \|z^j\| + \tau \| \psi^j \| \leq \dots \leq$$

$$\leq q^{j+1} \|z^0\| + \tau (q^j \| \psi^0 \| + q^{j-1} \| \psi^1 \| + \dots + \| \psi^j \|)$$

$$\leq \|z^0\| + \tau_{j+1} \underbrace{\max_{k=0, \dots, j} \| \psi^k \|}_{0(\tau+h^2)} \leq \tau_{EA}(u)(\tau+h^2)$$

$\uparrow$   
= 0  
bzw  
Rdf

(5) Stabilitäts bed.:  $q = \|I - \alpha \frac{\tau}{h^2} A\| \leq 1$

$z \in \mathbb{R}^{n-1}$

$\| \cdot \| = \| \cdot \|_2$

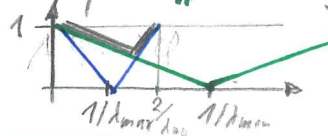
z.B. Vektornorm = Euklidische Norm:  $\|z\|_2 = \|z\|_{\mathbb{R}^{n-1}} = \sqrt{\sum_{i=1}^{n-1} (z_i)^2}$

Zugeordnete Matrixnorm = Spektralnrm:  $\|M\|_2 = \max_{EW} |\lambda(M)|$   
 $\uparrow$   
 $M = M^T$

Spektralnrm = Spektralradius (hier!)

$$q = \|I - \alpha \frac{\tau}{h^2} A\|_2 = \max \left\{ \left| 1 - \alpha \frac{\tau}{h^2} \lambda_{\max}(A) \right|, \left| 1 - \alpha \frac{\tau}{h^2} \lambda_{\min}(A) \right| \right\}$$

wobei  $\lambda_{\min/\max}(A) = \min/\max$  EW von A



$$q \leq 1 \Leftrightarrow \left| 1 - \alpha \frac{\tau}{h^2} \lambda_{\max}(A) \right| \leq 1$$

$$\Leftrightarrow -1 \leq 1 - \alpha \frac{\tau}{h^2} \lambda_{\max}(A) \leq +1 \Leftrightarrow \tau \leq \frac{h^2}{2\alpha} \frac{2}{\lambda_{\max}(A)} \quad (5)$$

Stabilitätsbedingung:  $\|\cdot\| = \|\cdot\|_2$

$$(5) \tau \leq \frac{h^2}{2\epsilon} \frac{2}{\lambda_{\max}(A)} = \frac{2}{\lambda_{\max}\left(\frac{2\epsilon}{h^2}A\right)} = \frac{2}{\lambda_{\max}(K)} = \tau_{\text{stab}}$$

$= K$

Hier:  $\lambda_{\max}(A) = \lambda_{\max}\left(\begin{bmatrix} 2 & -1 \\ -1 & 2 & -1 \\ & & \ddots & \ddots \\ & & & -1 & 2 \end{bmatrix}\right) \leq \max_{i=1, n-1} \sum_{j=1}^{n-1} |a_{ij}| = 4$

Folglich gilt: hinreichende Stabilitätsbed.

(5)

$$(5) \tau \leq \frac{h^2}{2\epsilon} \leq \tau_{\text{stab}}$$

Endresultat:

**Stabilität** :  $\|z^{j+1}\| \leq \underbrace{\|z^0\|}_{= 0 \text{ bzw. Rdf}} + C_S \overset{t_E}{\max}_{k=0, m-1} \|\psi^k\|$

**Approximation:**  $\|\psi^k\| = O(\tau + h^2) \leq C_A(u) (\tau + h^2)$



**diskr. Konvergenz:**  $\|z^{j+1}\| \leq C_S C_A(u) (\tau + h^2)$

$h \rightarrow 0, \tau \rightarrow 0$

$$\left[ \frac{\partial^2 u}{\partial t^2} - a^2 \frac{\partial^2 u}{\partial x^2} = f \text{ in } \Omega \right]$$

+ RB + AB

Hyperbolischer Fall, d.h. Saitenschwingung (N-2)

Kann analog analysiert werden:

bzw. Pkt. 1.2.2.

**Stabilität:** Stabilitätsbed. = CFL-Bedingung

(6)

$$\tau \leq \frac{h}{a} \quad (6)$$

+

**Approximation:** AB1 (N-2), Aufgabe 1.4a)  $|\psi_i^j| \leq C_A(u) (\tau^2 + h^2)$



**diskrete Konvergenz:**  $\|z^{j+1}\| \leq C_S C_A(u) (\tau^2 + h^2)$

WZ  
9.1.2019



```

9  %Aufruf des Algorithmus zur Berechnung der Temperaturverteilung
10 %T Temperaturmatrix
11 %time...Zeitpunkt für den gilt  $T \leq 40^\circ\text{C}$  im gesamten Stab
12 [T,time]=calc_T(time_end,m,n);
13

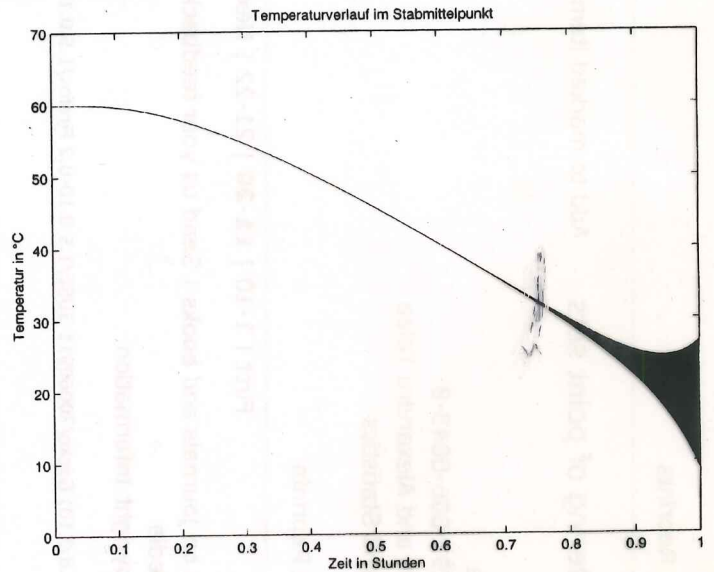
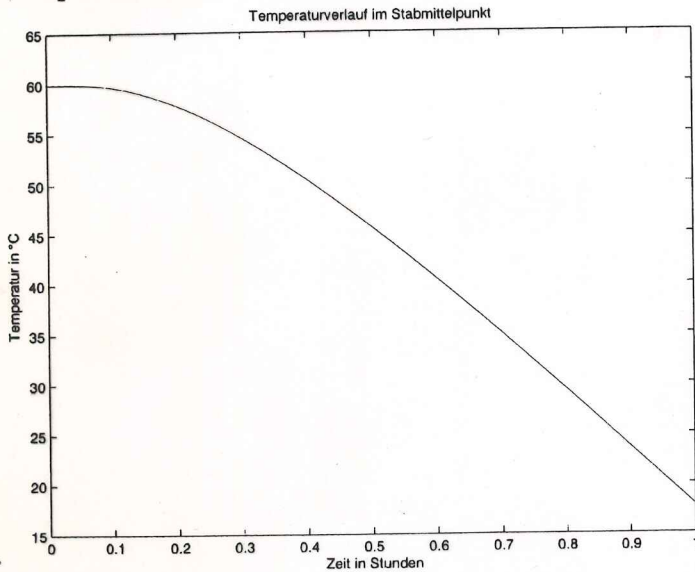
```

Folie Ü 1/06  
Num Opt 38f

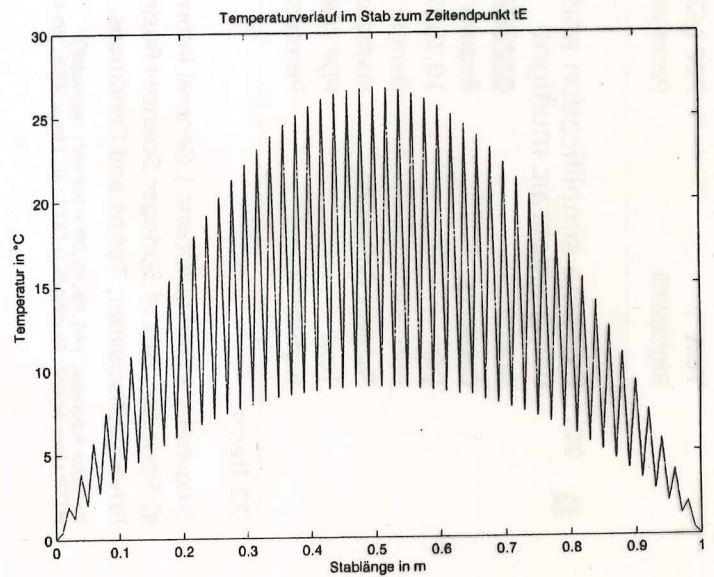
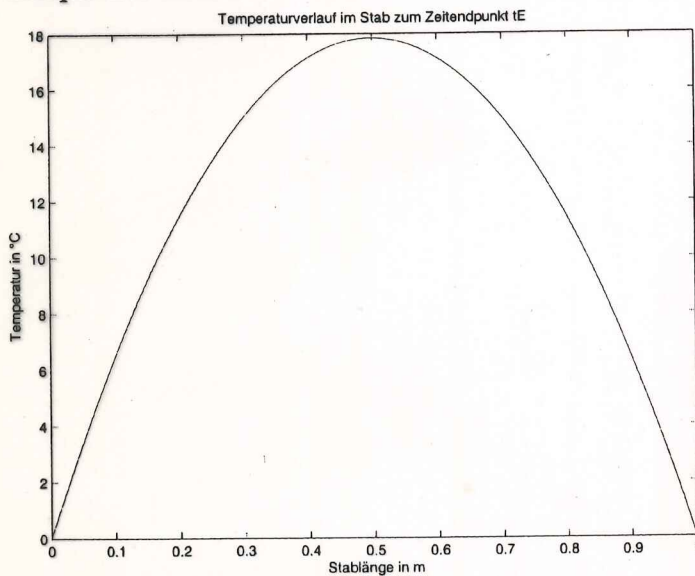
**Ergebnisse:**

Mit den zwei gewählten Diskretisierungen werden folgender Temperaturverläufe berechnet:  
 $m=9000, n=100, \text{time\_end}=3600$  Sekunden (Diagramme links): stabile Lösung  
 $m=8235, n=100, \text{time\_end}=3600$  Sekunden (Diagramme rechts): aufschwingende Lösung  
 Diese Werte wurden gewählt um einerseits eine stabile Lösung und andererseits den Effekt des Aufschwingvorganges zu zeigen.

**Temperaturverlauf im Stabmittelpunkt im berechneten Zeitintervall:**



**Temperaturverlauf im Stab nach einer Stunde  $t_E=1h$**

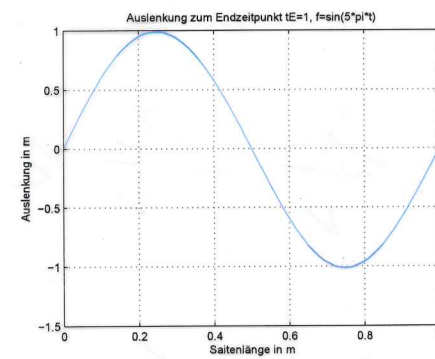
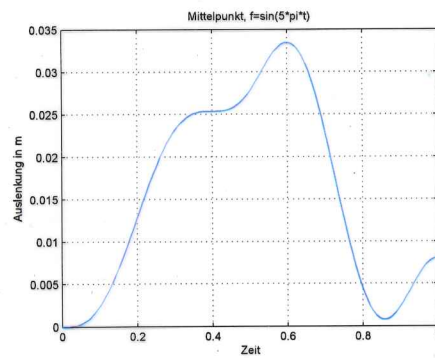
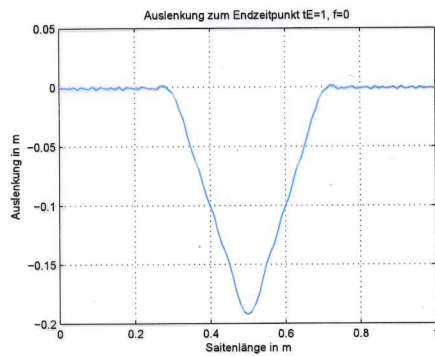
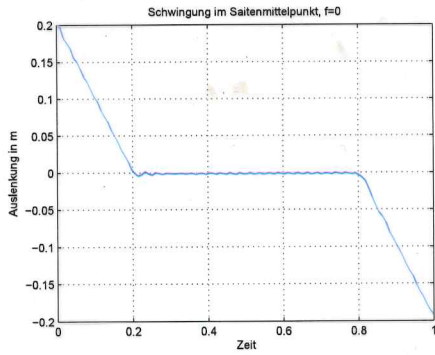


~~Temperaturverteilung T wenn im gesamten Stab  $T \leq 40^\circ\text{C}$ :~~

stabil

nicht stabil

$dt = 0.009$   
(CFL-Bedingung erfüllt)



$dt = 0.01008$   
(CFL-Bedingung nicht erfüllt)

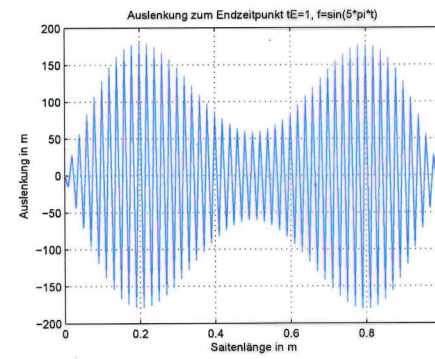
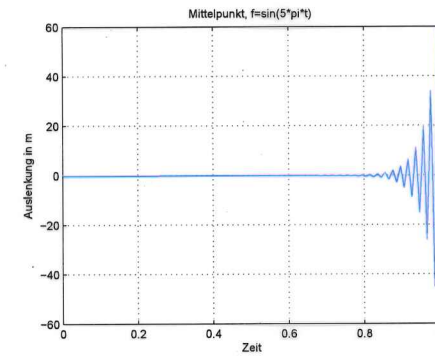
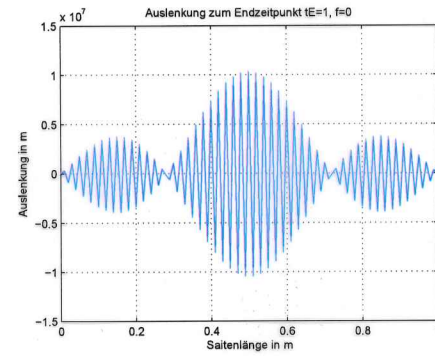
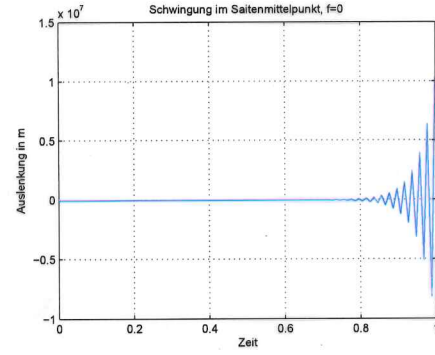


Tabelle 1: Vergleich verschiedener Zeitschrittweiten für Schwingungsbeispiel

## 4.3. Galerkin FEM für instationäre Probleme

### 4.3.1. Parabolische Probleme

#### ■ Btr. wieder die parabolische ARWA

$$\begin{aligned}
 & \frac{\partial u}{\partial t}(x,t) + L u(x,t) = f(x,t), \quad (x,t) \in Q = Q_T = \overset{\mathbb{R}^d}{\Omega} \times (0,T) \\
 & \text{Modellproblem: } Lu = -\Delta u \text{ bzw. } Lu = -\frac{\lambda}{\rho c} \Delta u \quad (1) \\
 & \text{PKt. 1.3.4 : } Lu = -\sum_{i,j=1}^d \frac{\partial}{\partial x_i} (a_{ij} \frac{\partial u}{\partial x_j}) + \sum_{i=1}^d a_i \frac{\partial u}{\partial x_i} + au \\
 & \qquad \qquad \qquad = -\operatorname{div}(A \nabla u) + \vec{a} \cdot \nabla u + au \\
 & + \text{RB z. B. 1. Art: } u(x,t) = 0, \quad (x,t) \in \Sigma = \partial\Omega \times (0,T) \\
 & + \text{AB: } u(x,0) = u_0(x), \quad x \in \bar{\Omega}
 \end{aligned}$$

#### ■ Discretisierungstechniken:

##### 1. Erst ZEIT, dann RAUM

= horizontale Linienmethode = Rothe Methode

→ besonders für Adaptivität im Raum / Ort geeignet: AFEM

→ Ref.: J. Lang: Adaptive Multilevel Solution of Nonlinear Parabolic PDE Systems, Springer, 2000.

##### 2. Erst RAUM, dann ZEIT

= vertikale Linienmethode

→ Standardmethode

→ Ref.: V. Thomée: Galerkin FEMs for Parabolic Problems, Springer, 2006 (2. Auflage)

##### 3. RAUM-ZEIT-Methoden (Space-time methods)

→ Hot research topic now!

→ Vorteile: Parallelisierung, Adaptivität, Bewegende Gebiete,

→ Nachteile: 1 großes GS, viel Speicherplatz

→ Ref.: U. Langer, O. Steinbach (eds): Space-Time Methods: Applications to PDEs, de Gruyter, 2019.

## 4.2. Implizite Zeitintegrationsverfahren

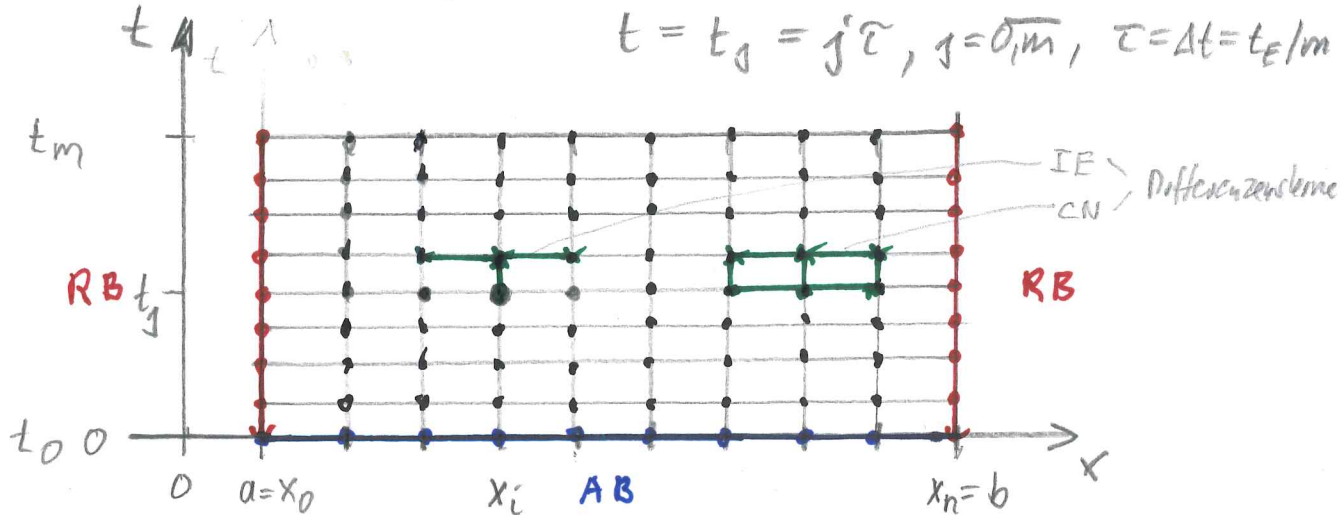
AB1(A-M)

Das implizite Euler-Verfahren (7) = (8)  $\theta=1$  aus Pkt. 4.2.2:

Ges.  $v(x_i, t) \approx u(x, t)$  im Raum-Zeitgitter  $(x_i, t_j)$

$$v_i^j = v(x_i, t_j) \quad x = x_i = a + ih, \quad i = \overline{0, n}, \quad h = \Delta x = \frac{b-a}{n}$$

$$t = t_j = j\tau, \quad j = \overline{0, m}, \quad \tau = \Delta t = t_E/m$$



$$(7) \begin{cases} \frac{v_i^{j+1} - v_i^j}{\tau} - \alpha \frac{v_{i-1}^{j+1} - 2v_i^{j+1} + v_{i+1}^{j+1}}{h^2} = f_L^{j+1} := f(x_i, t_{j+1}) \\ \text{RB: } v_0^j = u_a(t_j), \quad v_n^j = u_b(t_j), \quad j = \overline{1, m} \\ \text{AB: } v_i^0 = u_0(x_i), \quad i = \overline{0, 1, \dots, n-1, n} \end{cases} \quad i = \overline{1, n-1}, \quad j = \overline{0, m-1}$$

ist die "Mutter" aller impliziten Zeitintegrationsverfahren und gehört zur Klasse der  $\theta$ -Verfahren ( $\theta=1$ ).

< Runge-Kutta-Verf.

$\theta$ -Verfahren:  $\theta \in [0, 1]$

$$(8) \begin{cases} \frac{v_i^{j+1} - v_i^j}{\tau} - \theta \frac{v_{i-1}^{j+1} - 2v_i^{j+1} + v_{i+1}^{j+1}}{h^2} - (1-\theta) \frac{v_{i-1}^j - 2v_i^j + v_{i+1}^j}{h^2} = \\ = \theta f_L^{j+1} + (1-\theta) f_L^j, \quad i = \overline{1, n-1}, \quad j = \overline{0, m-1} \\ + \text{RB}(\uparrow) + \text{AB}(\uparrow) \end{cases}$$

Bemerkung:  $\theta = 1$ : implizites Euler-Verfahren

$\theta = \frac{1}{2}$ : CRANK-NICOLSON-Verfahren

$\theta = 0$ : explizites Euler-Verfahren

## ■ Analysis der Fehlerfortpflanzung für das implizite Eulerverfahren (7) = (8)<sub>θ=1</sub>:

- o Fehlerschema:  $z_i^{j+1} = z(x_i, t_{j+1}) = u(x_i, t_{j+1}) - v(x_i, t_{j+1})$   
in Vektorform

$$(9) \quad z^{j+1} := \begin{bmatrix} z_1^{j+1} \\ z_2^{j+1} \\ \vdots \\ z_{n-1}^{j+1} \end{bmatrix} = z^j - \alpha \frac{\tau}{h^2} \underbrace{\begin{bmatrix} 2 & -1 & & & \\ -1 & 2 & -1 & & \\ & -1 & 2 & -1 & \\ & & \ddots & \ddots & \ddots \\ & & & -1 & 2 & -1 \\ & & & & -1 & 2 \end{bmatrix}}_{=: A = A^T > 0, \text{ d.h. SPD}} z^{j+1} + \tau \psi^{j+1}$$

SPD

$$(I + \alpha \frac{\tau}{h^2} A) z^{j+1} = z^j + \tau \psi^{j+1}$$

$$z^{j+1} = (I + \alpha \frac{\tau}{h^2} A)^{-1} z^j + \tau (I + \alpha \frac{\tau}{h^2} A)^{-1} \psi^{j+1}$$

$\|\cdot\|_2 \equiv \|\cdot\|_2 = \|\cdot\|_{\mathbb{R}^{n-1}}$  - Euklidische Norm:

$$\|z^{j+1}\| = \underbrace{\|(I + \alpha \frac{\tau}{h^2} A)^{-1}\|}_{\text{SPD SPD}} \|z^j\| + \tau \underbrace{\|(I + \alpha \frac{\tau}{h^2} A)^{-1}\|}_{\text{SPD}} \|\psi^{j+1}\|$$

$$= \max_{\lambda \in \sigma(A)} |(1 + \alpha \frac{\tau}{h^2} \lambda)^{-1}| \leq 1 \leq 1$$

$$\leq \|z^j\| + \tau \|\psi^{j+1}\| \leq \dots \leq$$

$$\leq \|z^0\| + \tau (\|\psi^1\| + \|\psi^2\| + \dots + \|\psi^{j+1}\|)$$

$$\leq \|z^0\| + t_{j+1} \underbrace{\max_{k=1, \dots, j+1} \|\psi^k\|}_{= O(\tau + h^2)}$$

$$= 0$$

$$\text{bzw. } Rdf \leq O(\tau + h^2) = O(\tau + h^2)$$

$$\leq t_E C_A(u) (\tau + h^2),$$

d.h. impliziter Euler ist unbedingt stabil !

- 150 -

■ Analyse der Fehlerfortpflanzung für das  $\theta$ -Verfahren (8):

- Fehlerschema:  $z = \overset{(1)}{u} - \overset{(8)}{v}$

$$(10) \quad z_{t,i}^j - \theta \alpha z_{\bar{x},i}^{j+1} - (1-\theta) \alpha z_{\bar{x},i}^j = \tau \psi_i^{j,\theta}$$

$$\text{mit } \psi_i^{j,\theta} = \theta \psi_i^j + (1-\theta) \psi_i^{j+1}, \quad i = \overline{1, n-1}, \quad j = \overline{0, m-1}$$

$$+ RB: z_0^j = z_n^j = 0, \quad j = \overline{1, m} \quad + AB: z^0 = 0 \text{ (Rdf!)}$$

- Vektor / Matrix - Schreibweise:

$$z^{j+1} = z^j - \theta \alpha \frac{\tau}{h^2} A z^{j+1} - (1-\theta) \alpha \frac{\tau}{h^2} A z^j + \tau \psi^{j,\theta}$$

$$(I + \theta \alpha \frac{\tau}{h^2} A) z^{j+1} = (I - (1-\theta) \alpha \frac{\tau}{h^2} A) z^j + \tau \psi^{j,\theta}$$

$$z^{j+1} = (I + \theta \alpha \frac{\tau}{h^2} A)^{-1} (I - (1-\theta) \alpha \frac{\tau}{h^2} A) z^j + \tau (I + \theta \alpha \frac{\tau}{h^2} A)^{-1} \psi^{j,\theta}$$

$$\|z^{j+1}\| \leq \underbrace{\| (I + \theta \alpha \frac{\tau}{h^2} A)^{-1} (I - (1-\theta) \alpha \frac{\tau}{h^2} A) \|}_{=: \rho \leq 1!} \|z^j\| + \tau \|\psi^{j,\theta}\|$$

$$\| (I + \theta \alpha \frac{\tau}{h^2} A)^{-1} \| \leq 1$$

$$=: \rho \leq 1!$$

- Für die Spektralnorm  $\|\cdot\| := \|\cdot\|_2$  erhalten wir

$$\rho := \underbrace{\| (I + \theta \alpha \frac{\tau}{h^2} A)^{-1} (I - (1-\theta) \alpha \frac{\tau}{h^2} A) \|_2}_{A \text{ SPD}} \stackrel{\downarrow}{=} \dots$$

$$= \max_{\lambda \in \sigma(A)} \left| \frac{1 - (1-\theta) \alpha \frac{\tau}{h^2} \lambda}{1 + \theta \alpha \frac{\tau}{h^2} \lambda} \right| \stackrel{\uparrow}{=} \left| \frac{1 - (1-\theta) \alpha \frac{\tau}{h^2} \lambda_{\max}(A)}{1 + \theta \alpha \frac{\tau}{h^2} \lambda_{\max}(A)} \right|$$

$\sigma(A) \subset (0, 4]$  - Spektrum

$\sigma(A) =$  Menge alle EW von A

Hinweis:  $\varphi(x) = (1 - (1-\theta)x)(1 + \theta x) \searrow$

$\leq 1$

$\iff$   
gdw

$$-1 \leq \frac{1 - (1-\theta) \alpha \frac{\tau}{h^2} \lambda_{\max}(A)}{1 + \theta \alpha \frac{\tau}{h^2} \lambda_{\max}(A)} \leq 1 \checkmark$$

- Stabilitätsbedingung:

(11)

$$-1 \leq \frac{1 - (1-\theta) \alpha \frac{\tau}{h^2} \lambda_{\max}(A)}{1 + \theta \alpha \frac{\tau}{h^2} \lambda_{\max}(A)}$$

Daraus folgt unmittelbar

$$\theta = 0: \text{Expliziter Euler: } \alpha \frac{\tau}{h^2} \lambda_{\max}(A) \leq 2 \quad \text{bed. stab. !}$$

$$\theta = \frac{1}{2}: \text{CN: } -2 - \alpha \frac{\tau}{h^2} \lambda_{\max}(A) \leq 2 - \alpha \frac{\tau}{h^2} \lambda_{\max}(A) \quad \text{unbed. st. !}$$

$$\theta = 1: \text{Impliziter Euler: } -1 - \alpha \frac{\tau}{h^2} \lambda_{\max}(A) \leq 1 \quad \text{unbed. stabil !}$$

$$0 < \theta < 1: 0 \leq 1 - (1-\theta) \alpha \frac{\tau}{h^2} \lambda_{\max}(A) + 1 + \theta \alpha \frac{\tau}{h^2} \lambda_{\max}(A)$$

$$0 \leq 2 - \alpha \frac{\tau}{h^2} \lambda_{\max}(A) + 2\theta \alpha \frac{\tau}{h^2} \lambda_{\max}(A)$$

$$\theta \geq \frac{1}{2} - \frac{1}{\alpha \frac{\tau}{h^2} \lambda_{\max}(A)} \approx \frac{1}{2} - \frac{h^2}{4 \alpha \tau}$$

- Resultate:  $\|\cdot\| = \|\cdot\|_2$

$$\theta = 1: q = \|(\cdot)^{-1}(\cdot)\|_2 \leq 1 \quad \text{und} \quad \|y^k\| \leq C_A(u) (\tau + h^2)$$

unbedingt stabil

$$\theta = \frac{1}{2}: q = \|(\cdot)^{-1}(\cdot)\|_2 \leq 1 \quad \text{und} \quad \|y^{k,\theta}\| \leq C_A(u) (\tau^2 + h^2)$$

unbedingt stabil ↑  
(mms) Taylor

$$\theta = 0: \tau \leq \frac{h^2}{\alpha} \frac{2}{\lambda_{\max}(A)} \quad \text{und} \quad \|y^k\| \leq C_A(u) (\tau + h^2)$$

bedingt stabil

Stabilität + Approximation  $\Rightarrow$  diskrete Konvergenz

$$\|z^j\| \leq C_S C_A(u) (\tau^r + h^2), \quad r = \begin{cases} 2 & \text{CN} \\ 1 & \text{sonst} \end{cases}$$

- Hyperbolische Probleme, d.h., z.B., Seitenschwingung (N-2)

$\Rightarrow$  Implizites Zeitintegrationschema (AB1(N-2), Aufgabe 1.3)  
ist **unbedingt stabil!**

$\Rightarrow$  Diskrete Konvergenz:  $\|z^{j+1}\| \leq C_S C_A(u) (\tau^2 + h^2)$

## 4.3. Galerkin FEM für instationäre Probleme

### 4.3.1. Parabolische Probleme

#### ■ Btr. wieder die parabolische ARWA

$$\begin{aligned}
 & \frac{\partial u}{\partial t}(x,t) + L u(x,t) = f(x,t), \quad (x,t) \in Q = Q_T = \overset{\mathbb{R}^d}{\Omega} \times (0,T) \\
 & \text{Modellproblem: } Lu = -\Delta u \text{ bzw. } Lu = -\frac{\lambda}{\rho c} \Delta u \quad (1) \\
 & \text{PKt. 1.3.4 : } Lu = -\sum_{i,j=1}^d \frac{\partial}{\partial x_i} (a_{ij} \frac{\partial u}{\partial x_j}) + \sum_{i=1}^d a_i \frac{\partial u}{\partial x_i} + au \\
 & \qquad \qquad \qquad = -\operatorname{div}(A \nabla u) + \vec{a} \cdot \nabla u + au \\
 & + \text{RB z. B. 1. Art: } u(x,t) = 0, \quad (x,t) \in \Sigma = \partial\Omega \times (0,T) \\
 & + \text{AB: } u(x,0) = u_0(x), \quad x \in \bar{\Omega}
 \end{aligned}$$

#### ■ Discretisierungstechniken:

##### 1. Erst ZEIT, dann RAUM

= horizontale Linienmethode = Rothe Methode

→ besonders für Adaptivität im Raum / Ort geeignet: AFEM

→ Ref.: J. Lang: Adaptive Multilevel Solution of Nonlinear Parabolic PDE Systems, Springer, 2000.

##### 2. Erst RAUM, dann ZEIT

= vertikale Linienmethode

→ Standardmethode

→ Ref.: V. Thomée: Galerkin FEMs for Parabolic Problems, Springer, 2006 (2. Auflage)

##### 3. RAUM-ZEIT-Methoden (Space-time methods)

→ Hot research topic now!

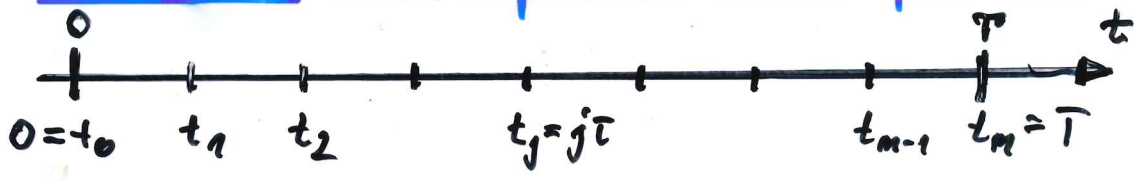
→ Vorteile: Parallelisierung, Adaptivität, Bewegende Gebiete,

→ Nachteile: 1 großes GS, viel Speicherplatz

→ Ref.: U. Langer, O. Steinbach (eds): Space-Time Methods: Applications to PDEs, de Gruyter, 2019.

**add 1.** Erst ZEIT, dann RAUM = horizontale LM = Reihe:

- Erst ZEIT z.B. impliziter Euler für (P)



z.B. gleichmässige Unterteilung, d.h.  $\tau = \frac{T}{m}$ , aber nichtnot.

(12)  $\left\{ \begin{array}{l} u^0(x) := u_0(x) \text{ AB} \\ u^{j+1}(x) \approx u(x, t_{j+1}) \\ \frac{u^{j+1}(x) - u^j(x)}{\tau} - \Delta u^{j+1}(x) = f^{j+1}(x) := f(x, t_{j+1}), x \in \Omega \\ + \text{RB: } u^{j+1}(x) = 0, x \in \Gamma = \partial\Omega \\ j = 0, 1, 2, \dots, m-1 \end{array} \right.$

(12)  $\left\{ \begin{array}{l} -\Delta u^{j+1}(x) + \frac{1}{\tau} u^{j+1}(x) = f^{j+1}(x) + \frac{1}{\tau} u^j(x), x \in \Omega \\ + \text{RB: } u^{j+1}(x) = 0, x \in \Gamma \end{array} \right.$

= elliptische RWA, siehe Kap. 2 ;  $j = 0, 1, \dots, m-1$

Zur Bestimmung von  $u^{j+1} \in \tilde{V}_j = \tilde{V}_0 = H^1(\Omega)$  erhalten wir folglich die VF

(12)<sub>VF</sub>  $\int_{\Omega} (\nabla u^{j+1} \cdot \nabla v + \frac{1}{\tau} u^{j+1} v) dx = \int_{\Omega} f^{j+1} v dx + \frac{1}{\tau} \int_{\Omega} u^j v dx \quad \forall v \in \tilde{V}_0$   
 $a(u^{j+1}, v) = \langle F^{j+1}, v \rangle \quad \forall v \in \tilde{V}_0$

- Dann RAUM durch FE Diskretisierung

(12)<sub>h</sub> Ges.  $u_h^{j+1} \in \tilde{V}_{gh} = \tilde{V}_{0h} = \text{span}\{\varphi_i : i \in \omega_h\} = \text{span}\{\varphi_1, \dots, \varphi_n\} \subset \tilde{V}_j$

Basis  $\{\varphi_1, \dots, \varphi_n\}$   $\uparrow$  FE-iso  $a(u_h^{j+1}, v_h) = \langle F^{j+1}, v_h \rangle \quad \forall v_h \in \tilde{V}_{0h}$

(12)<sub>h</sub> Ges.  $\underline{u}_h^{j+1} \in \mathbb{R}^{N_h}$ :  $\tilde{K}_h \underline{u}_h^{j+1} = \underline{f}_h^{j+1}, \quad j = 0, 1, \dots, m-1$

wobei  $\tilde{K}_h = K_h + \frac{1}{\tau} M_h$   
 $\hookrightarrow M_h = [\int_{\Omega} \varphi_i \varphi_j dx]_{i,j=1, \dots, n_h}$  = Massenmatrix  
 $\hookrightarrow K_h = [\int_{\Omega} \nabla \varphi_i \cdot \nabla \varphi_j dx]_{i,j=1, \dots, n_h}$  = Steifigkeitsm.

add 2 Erst RAUM, dann ZEIT = vertikale LM:

- Startpkt = Linienvariationsformulierung von (P)

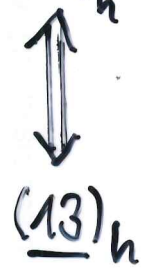
$$(13) \begin{cases} \int_{\Omega} \frac{\partial u}{\partial t}(x,t) v(x) dx + \int_{\Omega} \nabla u(x,t) \cdot \nabla v(x) dx = \int_{\Omega} f(x,t) v(x) dx \\ + AB \int_{\Omega} u(x,0) v(x) dx = \int_{\Omega} u_0(x) v(x) dx \quad \forall v \in \bar{V}_0 \quad \forall t \in (0,T) \end{cases}$$

- Erst RAUM mit FEM: Ansatz mit zeitabh. Koeffizienten, d.h.

$$(14) \text{ Ges. } u_h(x,t) = \sum_{i \in \mathcal{N}_h} u_i(t) \varphi_i(x) + \sum_{i \in \mathcal{N}_h} \underbrace{q_i(x_i, t)}_{=0 \text{ (Bsp.)}} \varphi_i(x) \in \bar{V}_{gh} = \bar{V}_{0h}$$

und einsetzen in (13) und dann testen mit  $v_h = \varphi_j, j = \overline{1, N_h}$ :

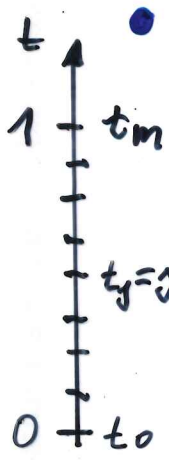
$$(13)_h \begin{cases} \sum_{i \in \mathcal{N}_h} \frac{\partial u_i(t)}{\partial t} \int_{\Omega} \varphi_i \varphi_j dx + \sum_{i \in \mathcal{N}_h} u_i(t) \int_{\Omega} \nabla \varphi_i \cdot \nabla \varphi_j dx = \int_{\Omega} f(x,t) \varphi_j dx, \forall j \in \mathcal{N}_h \\ + AB: \sum_{i \in \mathcal{N}_h} u_i(0) \int_{\Omega} \varphi_i \varphi_j dx = \int_{\Omega} u_0(x) \varphi_j(x) dx, j = \overline{1, N_h} \end{cases}$$



$$\boxed{\text{Ges. } \underline{u}_h(t) = [u_i(t)]_{i \in \mathcal{N}_h} \in \mathbb{R}^{N_h} : M_h \dot{\underline{u}}_h(t) + K_h \underline{u}_h(t) = \underline{f}_h(t), t \in (0,T) \\ AB: M_h \underline{u}_h(0) = \underline{u}_{0h}}$$

= AWA für System gewöhnlicher Dgl. 1. Ordnung

- Dann ZEIT diskretisierung mit Zeitintegrationsverfahren



z.B. mit expliziten Euler (muss): nur bedingt stabil!

impliziten Euler := A-stabil, d.h. unbed. st.

CRANK-NICOLSON := A-stabil

Mehrschrittverfahren z.B. BDF

Ref.: JL (2013), Kap. 8:  $u'(t) = f(t, u(t))$

Volldiskretes Schema: Ges.  $\underline{u}_h^{j+1} \approx \underline{u}_h(t_j)$ :

$$(13)_{hT} M_h \frac{\underline{u}_h^{j+1} - \underline{u}_h^j}{\tau} + K_h \underline{u}_h^{j+1} = \underline{f}_h^{j+1} := \underline{f}_h(t_{j+1}), M_h \underline{u}_h^0 = \underline{u}_{0h}$$

$$(K_h + \frac{1}{\tau} M_h) \underline{u}_h^{j+1} = \frac{1}{\tau} M_h \underline{u}_h^j + \underline{f}_h^{j+1}, j = 0, 1, \dots, m-1$$

## 4.3.2. Hyperbolische Probleme

### ■ Btr. die hyperbolische ARWA (z.B. Akustik):

$$(H) \begin{cases} \frac{\partial^2 u}{\partial t^2}(x,t) - \Delta u(x,t) = f(x,t), (x,t) \in Q = \Omega \times (0,T) \\ + RB: \text{z.B. 1. Art: } u(x,t) = 0, (x,t) \in \Sigma = \partial\Omega \times (0,T) \\ + AB: u(x,0) = u_0(x) \text{ und } \frac{\partial u}{\partial t}(x,0) = u_1(x), x \in \bar{\Omega} \end{cases}$$

### ■ Diskretisierungstechniken:

1. Erst ZEIT, dann RAUM = horizontale Linienmethode

② Erst RAUM, dann ZEIT = vertikale Linienmethode

3. RAUM-ZEIT-Methoden

→ • Startpunkt = Linienvariationsformulierung von (H):

$$(15) \begin{cases} \int_{\Omega} \frac{\partial^2 u}{\partial t^2}(x,t) v(x) dx + \int_{\Omega} \nabla u(x,t) \cdot \nabla v(x) dx = \int_{\Omega} f(x,t) v(x) dx \quad \forall v \in \tilde{V}_0 \\ + AB: \int_{\Omega} u(x,0) v(x) dx = \int_{\Omega} u_0(x) v(x) dx, \int_{\Omega} \frac{\partial u}{\partial t}(x,0) v(x) dx = \int_{\Omega} u_1(x) v(x) dx \end{cases}$$

### • Erst RAUM:

$$(16) \text{ Ges. } u_h(x,t) = \sum_{i=1}^{N_h} u_i(t) \varphi_i(x) \in \tilde{V}_{gh} = \tilde{V}_{0h} \quad \forall t \in [0,T]:$$

$$(15)_h \begin{cases} \sum_{i=1}^{N_h} \frac{d^2 u_i}{dt^2}(t) \int_{\Omega} \varphi_i \varphi_j dx + \sum_{i=1}^{N_h} u_i(t) \int_{\Omega} \nabla \varphi_i \cdot \nabla \varphi_j dx = \int_{\Omega} f(x,t) \varphi_j dx \\ + AB: \sum_{i=1}^{N_h} u_i(0) \int_{\Omega} \varphi_i \varphi_j dx = \int_{\Omega} u_0 \varphi_j dx, \sum_{i=1}^{N_h} \frac{du_i}{dx}(0) \int_{\Omega} \varphi_i \varphi_j dx = \int_{\Omega} u_1 \varphi_j dx \end{cases}$$

↑  
↓  
(15)\_h

$$\text{Ges } \underline{u}_h(t) = [u_i(t)]_{i=1, \dots, N_h} : M_h \ddot{\underline{u}}_h(t) + K_h \underline{u}_h(t) = \underline{f}_h(t), t \in (0,T)$$

$$M_h \underline{u}_h(0) = \underline{u}_{0h}, M_h \dot{\underline{u}}_h(0) = \underline{u}_{1h}$$

= AWA für System gewöhnlicher Dgl. 2. Ordnung

= AWA für doppeltso großes System gew. Dgl. 1. Ord. mit  $\underline{v}_h = \dot{\underline{u}}_h$

• Dann ZEIT diskretisierung mit Zeitintegrationsverfahren  
z.B. Newmark-Verfahren, siehe ZL (2013), S. 567-569

4-16

• Dann ZEIT diskretisierung mit Zeitintegrationsverfahren

z.B. 1) Einschrittverfahren (expl. Euler, impl. Euler, CN, ...)  
angewandt auf äquivalentes System gew. Dgl. 1. Oda.:

$$(17) \quad \begin{cases} M_h \dot{\underline{v}}_h(t) = \underline{f}_h(t) - C_h(t) \underline{v}_h(t) - K_h(t) \underline{u}_h(t) \\ \underline{\dot{u}}_h(t) = \underline{v}_h(t) \\ + AB: \underline{u}_h(0) = M_h^{-1} \underline{u}_{0h}, \underline{v}_h(0) = M_h^{-1} \underline{v}_{1h} \end{cases}$$

z.B. 2) Newmark-Verfahren [JL (2013), S. 567-569]

Btr. (15)<sub>h</sub> mit Dämpfungsterm

$$(15)_h \quad \begin{cases} M_h \ddot{\underline{u}}_h(t) + C_h(t) \dot{\underline{u}}_h(t) + K_h(t) \underline{u}_h(t) = \underline{f}_h(t), t \in (0, T) \\ + AB: M_h \underline{u}_h(0) = \underline{u}_{0h}, M_h \dot{\underline{u}}_h(0) = \underline{v}_{1h} \end{cases}$$

Newmark ( $\beta, \gamma$ ):  $\beta \in [0, 1/2]$ ,  $\gamma \in [0, 1]$

Ges.  $\underline{a}_h^{j+1} \in \mathbb{R}^{N_h}$  (Beschleunigung:  $\underline{a}_h^{j+1} \approx \underline{a}_h(t_{j+1})$ ):

$$M_h \underline{a}_h^{j+1} + C_h(t_{j+1}) \underline{v}_h^{j+1} + K_h(t_{j+1}) \underline{u}_h^{j+1} = \underline{f}_h^{j+1} := \underline{f}_h(t_{j+1})$$

$$\xrightarrow{\text{Taylor}} \underline{u}_h^{j+1} = \underline{u}_h^j + \tau \underline{v}_h^j + \frac{\tau^2}{2} [(1-2\beta) \underline{a}_h^j + 2\beta \underline{a}_h^{j+1}]$$

$$\underline{u}_h(t_{j+1}) \approx \underline{u}_h(t_j) + \tau \frac{d\underline{u}_h}{dt}(t_j) + \frac{\tau^2}{2} \frac{d^2\underline{u}_h}{dt^2}(t_j + \theta_j \tau), \theta_j \in (0, 1)$$

$$(18) \quad \xrightarrow{\text{Taylor}} \underline{v}_h^{j+1} = \underline{v}_h^j + \tau [(1-\gamma) \underline{a}_h^j + \gamma \underline{a}_h^{j+1}]$$

$$\underline{v}_h(t_{j+1}) \approx \underline{v}_h(t_j) + \tau \frac{d\underline{v}_h}{dt}(t_j + \tilde{\theta}_j \tau), \tilde{\theta}_j \in (0, 1)$$

$$j = 0, 1, 2, \dots, m-1$$

$$+ AB: \underline{u}_h^0 = M_h^{-1} \underline{u}_{0h}, \underline{v}_h^0 = M_h^{-1} \underline{v}_{1h}$$

$$\text{mit } \underline{a}_h^0 = M_h^{-1} [\underline{f}_h^0 - C_h(t_0) \underline{v}_h^0 + K_h(t_0) \underline{u}_h^0], t_0 = 0.$$

Daraus folgt sofort:

$$\underline{a}_h^{j+1} \in \mathbb{R}^{N_h}: (M_h + \tau \gamma C_h(t_{j+1}) + \tau^2 \beta K_h(t_{j+1})) \underline{a}_h^{j+1} = \underline{\varphi}_h^{j+1},$$

$$\text{mit } \underline{\varphi}_h^{j+1} = \underline{f}_h^{j+1} - C_h(t_{j+1}) \underline{v}_h^j - \tau (1-\gamma) C_h(t_{j+1}) \underline{a}_h^j -$$

$$- K_h(t_{j+1}) \underline{u}_h^j - \tau K_h(t_{j+1}) \underline{v}_h^j - \frac{\tau^2}{2} (1-2\beta) K_h(t_{j+1}) \underline{a}_h^j$$

Bem.: Newmark ( $\beta = \frac{1}{4}, \gamma = \frac{1}{2}$ ) = CN = TR angew. auf (17)! unbed. stabil